

شیمی کانی‌ها و ترموبارومتری پریدوتیت گوشه‌ای افیولیت ملانژ شمال غرب بیرجند، شرق ایران

زهره سلیمی، محمدحسین زرین کوب*، سیدسعید محمدی

گروه زمین‌شناسی، دانشکده علوم، دانشگاه بیرجند، بیرجند، ایران

(دریافت مقاله: ۹۰/۱۰/۱۲، نسخه نهایی: ۹۱/۳/۱۹)

چکیده: منطقه‌ی مورد بررسی در شمال غربی بیرجند، بخش شمالی زون جوش خورده‌ی سیستان، در شرق ایران واقع شده است. رخمنون‌هایی وابسته به یک مجموعه‌ی افیولیت ملانژ در این منطقه وجود دارد. اجزای سازنده‌ی این مجموعه شامل هارزبورژیت، گابرو و بازالت اسپیلیتی به همراه سنگ‌های نوع فلیش‌اند. نتایج بررسی‌های ریز پردازش الکترونی در هارزبورژیت‌ها بیانگر این است که الیوین از نوع فورستریت ($Fo_{90.75}$ - $Fo_{90.15}$)، ارتوپیروکسن از نوع انستاتیت ($Mg^{\#} = 91.58$)، کلینوپیروکسن از نوع اوژیت دیوپسیدی ($Mg^{\#} = 95.8$) و اسپینل (با عدد کروم ۴۱) از نوع آلومینیوم کرومودارند. ترموبارومتری کانی‌های کلینوپیروکسن و ارتوپیروکسن، دمای تبلور پریدوتیت‌ها را 100 ± 10 درجه‌ی سانتی گراد در فشار ۲۵ کیلوبار نشان می‌دهد.

واژه‌های کلیدی: افیولیت ملانژ، هارزبورژیت، ترموبارومتری، بیرجند، زون جوش خورده‌ی سیستان.

مجموعه‌ی سنگی به صورت مجموعه‌ی بهم ریخته افیولیت ملانژی در شرق ایران از جمله در شمال غرب بیرجند، رخمنون یافته است. ترکیب سنگ‌های گوشه‌ای وابسته به افیولیت‌ها که به عنوان باقیمانده‌های ذوب بخشی تصور می‌شوند، می‌توانند اطلاعات مهمی درباره‌ی ماهیت ذوب بخشی، خاستگاه گذاره و محیط تکتونوماگمایی تشکیل افیولیت‌ها ارائه دهند. در این راستا شیمی کانی‌های موجود در بخش گوشه‌ای افیولیت‌ها برای تشخیص ماهیت و نوع کانی‌های موجود، خاستگاه تشکیل آنها و تعیین دما و فشار تعادلی در پریدوتیت‌ها، مورد استفاده قرار می‌گیرد [۷-۹]. در این پژوهش سعی بر آن است تا با بررسی شیمی کانی‌ها در بخش پریدوتیتی افیولیت ملانژ شمال غربی بیرجند، ماهیت و نوع کانی‌های موجود، خاستگاه و دمای تعادلی بخش گوشه‌ای افیولیت ملانژ مورد بررسی، برآورد شود.

مقدمه

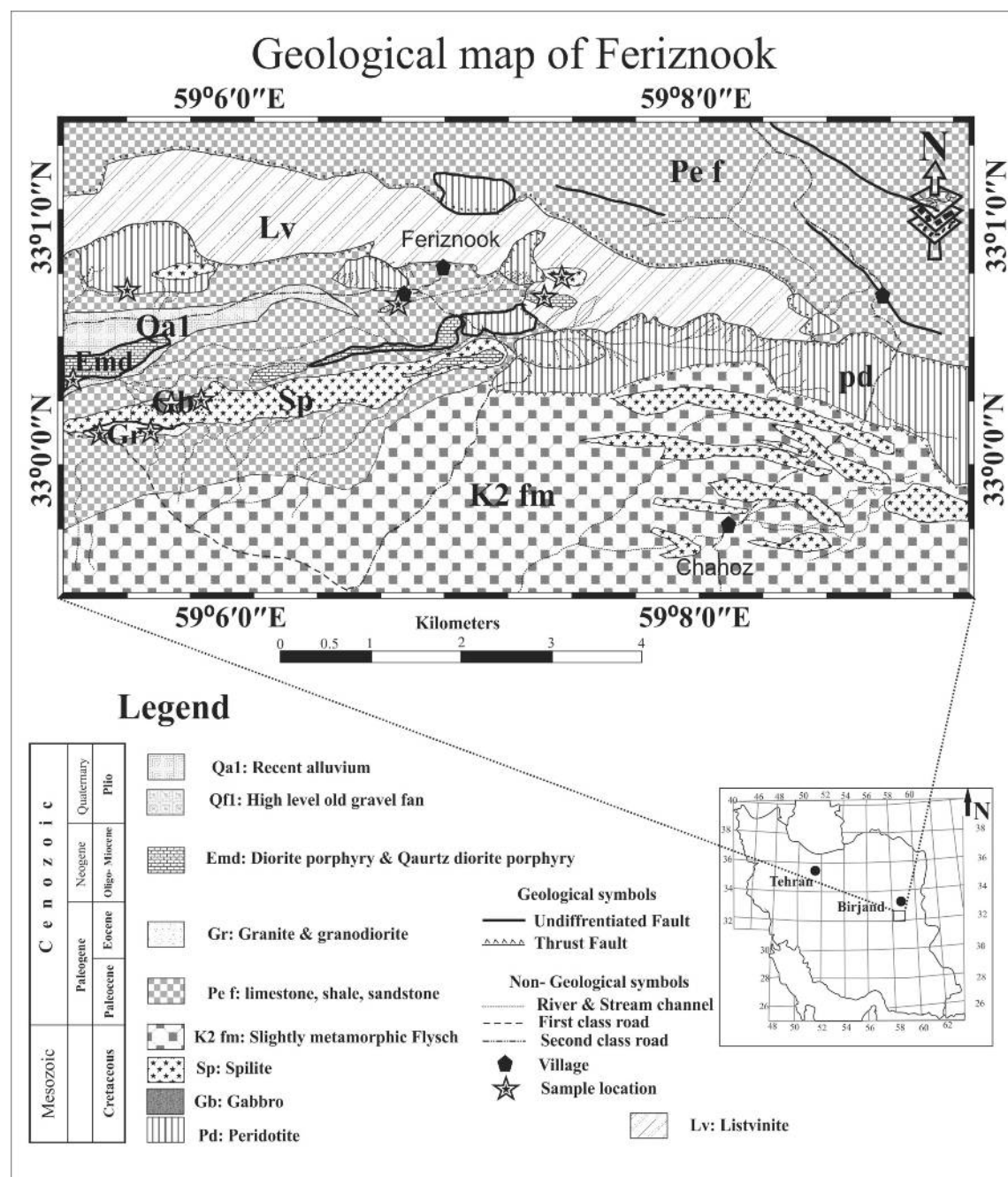
منطقه‌ی مورد بررسی در فاصله‌ی ۲۵ کیلومتری شمال غربی بیرجند، با طول جغرافیایی شرقی "۱۱°۱'۸" تا "۱۱°۵۹'۹" و عرض جغرافیایی شمالی "۳۷°۵۹'۳" تا "۴۴°۳۳'۱" در نقشه‌ی زمین‌شناسی ۱:۱۰۰۰۰۰ (شکل ۱) و در بخش شمالی زون جوش خورده‌ی سیستان واقع شده است. زون جوش خورده‌ی سیستان، زمیندرز ناشی از برخورد بلوك قاره‌ای لوت با افغان است [۲]. باریکه‌ی اقیانوسی بین پهنه‌ی لوت و افغان در کرتاسه پیشین (آپسین تا آلین) وجود داشته است [۳]. بررسی‌های اخیر [۴-۶] حاکی از بسته شدن اقیانوس پیش از ۸۶ میلیون سال پیش (اوایل کرتاسه فوقانی) یادشده، پیش از شدن این باریکه‌ی اقیانوسی باعث فرارانده شدن قطعاتی از سنگ کره‌ی اقیانوسی به حاشیه قاره شده که این

* نویسنده مسئول، تلفن: ۰۹۱۵۵۶۰۰۵۱۸، نامبر: ۰۵۶۱ (۰۴۰۲۵)، پست الکترونیکی: Zarrinkoub@yahoo.com

۱۰۰ با ولتاژ شتابدهنده‌ی 20KV و جریان 15nA در گروه علوم زمین دانشگاه مانسر آلمان آنالیز شدند. در محاسبه‌ی مقدار Fe^{2+} و Fe^{3+} برای دسترسی به فرمول ساختاری کانی‌ها از موازنی شیمیایی کانی‌ها و روش ارائه شده توسط [۱۰] و استفاده شد. ترموبارومتری با نرم افزار PTMAFIC [۱۱] و ردهبندی کانی‌ها با نرم‌افزار Minpet ۲.۰۲ انجام شد. نتایج آنالیز نقطه‌ای کانی‌ها، در جدول‌های ۱، ۲، ۳ آورده شده‌اند.

روش بررسی

پس از بررسی‌های صحرایی و نمونه برداری به منظور بررسی-های سنگنگاری و کانی‌شناسی، از نمونه‌های هارزبورزیت منطقه، مقاطع نازکی تهیه شدند و سپس از نمونه‌های مناسب مقاطع نازک-صیقلی تهیه و ۳۰ نقطه الیوین، ۲۷ نقطه پیروکسن و ۳۰ نقطه اسپینل موجود در نمونه‌های هارزبورزیت منطقه با استفاده از ریزپردازندۀ الکترونی Cameca SX-



شکل ۱ نقشه‌ی زمین شناسی منطقه‌ی مورد بررسی.

جدول ۱ آنالیز ریزپردازی الیوین در هارزبورزیت بر اساس درصد وزنی و فرمول ساختاری بر اساس ۸ اکسیژن.

Sample	Hz _x	Hz								
No	Ol-134	Ol-135	Ol-136	Ol-137	Ol-138	Ol-139	Ol-140	Ol-141	Ol-142	Ol-143
SiO ₂	۴۰.۹۶	۴۱.۰۶	۴۰.۷۶	۴۰.۹۵	۴۱.۱۸	۴۰.۷۰	۴۱.۱۹	۴۱.۰۶	۴۱.۲۲	۴۱.۰۵
TiO ₂	۰.۰۳	۰.۰۱	۰.۰۰	۰.۰۰	۰.۰۱	۰.۰۰	۰.۰۲	۰.۰۲	۰.۰۰	۰.۰۰
Al ₂ O ₃	۰.۰۲	۰.۰۰	۰.۰۱	۰.۰۰	۰.۰۰	۰.۰۰	۰.۰۰	۰.۰۰	۰.۰۱	۰.۰۰
Cr ₂ O ₃	۰.۰۱	۰.۰۰	۰.۰۰	۰.۰۱	۰.۰۰	۰.۰۰	۰.۰۱	۰.۰۰	۰.۰۰	۰.۰۳
FeO*	۹.۰۷	۹.۱۶	۹.۱۲	۹.۳۳	۹.۵۴	۹.۱۲	۹.۲۳	۹.۲۹	۹.۱۲	۹.۲۱
MnO	۰.۱۲	۰.۱۵	۰.۱۱	۰.۱۰	۰.۱۸	۰.۰۹	۰.۱۲	۰.۱۵	۰.۱۱	۰.۱۳
MgO	۴۹.۷۹	۴۹.۶۳	۴۹.۵۷	۵۰.۲۰	۵۰.۰۰	۵۰.۵۸	۴۹.۷۹	۵۰.۲۳	۴۹.۷۵	۵۰.۱۲
CaO	۰.۰۰	۰.۰۲	۰.۰۱	۰.۰۱	۰.۰۲	۰.۰۰	۰.۰۰	۰.۰۲	۰.۰۱	۰.۰۲
Na ₂ O	۰.۰۱	۰.۰۰	۰.۰۰	۰.۰۱	۰.۰۰	۰.۰۰	۰.۰۱	۰.۰۰	۰.۰۰	۰.۰۰
K ₂ O	۰.۰۰	۰.۰۰	۰.۰۲	۰.۰۱	۰.۰۰	۰.۰۱	۰.۰۰	۰.۰۰	۰.۰۲	۰.۰۳
Total	۱۰۰.۰۰	۱۰۰.۰۴	۹۹.۷۹	۱۰۰.۶۲	۱۰۰.۴۱	۱۰۰.۵۰	۱۰۰.۳۷	۱۰۰.۰۴	۹۹.۷۹	۱۰۰.۰۹
Si	۱.۰۰	۱.۰۰۳	۱.۰۰	۰.۹۹۳	۱.۰۰	۰.۹۹	۱.۰۰	۱.۰۰	۱.۰۰	۰.۹۹
Ti	۰.۰۰۱	۰.۰۰	۰.۰۰	۰.۰۰	۰.۰۰	۰.۰۰	۰.۰۰	۰.۰۰	۰.۰۰	۰.۰۰
Al	۰.۰۰۱	۰.۰۰	۰.۰۰	۰.۰۰	۰.۰۰	۰.۰۰	۰.۰۰	۰.۰۰	۰.۰۰	۰.۰۰
Cr	۰.۰۰	۰.۰۰	۰.۰۰	۰.۰۰	۰.۰۰	۰.۰۰	۰.۰۰	۰.۰۰	۰.۰۰	۰.۰۰
Fe ⁺²	۰.۱۸۵	۰.۱۸۷	۰.۱۸۰	۰.۱۷۶	۰.۱۸	۰.۱۶	۰.۱۹	۰.۱۹	۰.۱۸	۰.۱۸
Fe ⁺³	۰.۰۰	۰.۰۰	۰.۰۱	۰.۰۱	۰.۰۰	۰.۰۳	۰.۰۰	۰.۰۰	۰.۰۱	۰.۰۱
Mn	۰.۰۰۲	۰.۰۰۳	۰.۰۰۲	۰.۰۰۲	۰.۰۰	۰.۰۰	۰.۰۰	۰.۰۰	۰.۰۰	۰.۰۰
Mg	۱.۸۱۱	۱.۸۰۷	۱.۸۱۴	۱.۸۱۵	۱.۸۱۱	۱.۸۲۷	۱.۸۱	۱.۸۱	۱.۸۱	۱.۸۲
Ca	۰.۰۰۰	۰.۰۰۱	۰.۰۰	۰.۰۰	۰.۰۰	۰.۰۰	۰.۰۰	۰.۰۰	۰.۰۰	۰.۰۰
Te	۰.۱۲	۰.۱۶	۰.۱۱	۰.۱۰	۰.۱۹	۰.۰۹	۰.۱۲	۰.۱۰	۰.۱۵	۰.۱۳
Sum	۳.۱۲۴	۳.۱۵۵	۳.۱۱۴	۳.۱۰۲	۳.۱۸۵	۳.۰۹۲	۳.۱۲۴	۳.۱۰۲	۳.۱۵۵	۳.۱۳۳
Fo	۹۰.۶۲	۹۰.۴۵	۹۰.۵۶	۹۰.۴۵	۹۰.۶۲	۹۰.۷۵	۹۰.۶۲	۹۰.۴۵	۹۰.۵۶	۹۰.۴۵
Fa	۹.۲۶	۹.۳۷	۹.۳۱	۹.۴۳	۹.۱۷	۹.۱۶	۹.۲۶	۹.۳۷	۹.۳۱	۹.۴۳
Mg [#]	۰.۹۱	۰.۹۱	۰.۹۱	۰.۹۱	۰.۹۱	۰.۹۲	۰.۹۱	۰.۹۱	۰.۹۱	۰.۹۱

* Hz = Harzburgite

دنبله جدول ۱

Sample	Hz									
No	Ol-144	Ol-145	Ol-146	Ol-147	Ol-148	Ol-149	151-OI	Ol-152	Ol-153	Ol-154
SiO ₂	۴۱.۸۷	۴۰.۹۳	۴۰.۹۴	۴۰.۸۲	۴۱.۰۷	۴۰.۸۴	۴۰.۶۱	۴۰.۸۶	۴۰.۹۹	۴۰.۴۳
TiO ₂	۰.۰۲	۰.۰۴	۰.۰۱	۰.۰۰	۰.۰۰	۰.۰۰	۰.۰۰	۰.۰۰	۰.۰۰	۰.۰۰
Al ₂ O ₃	۰.۰۰	۰.۰۱	۰.۰۰	۰.۰۱	۰.۰۰	۰.۰۳	۰.۰۰	۰.۰۰	۰.۰۰	۰.۰۱
Cr ₂ O ₃	۰.۰۰	۰.۰۰	۰.۰۲	۰.۰۰	۰.۰۰	۰.۰۱	۰.۰۳	۰.۰۰	۰.۰۰	۰.۰۲
FeO*	۹.۰۸	۹.۰۲	۹.۲۴	۹.۲۷	۹.۱۱	۹.۱۹	۹.۲۸	۹.۲۳	۹.۵۳	۹.۱۴
MnO	۰.۱۰	۰.۱۷	۰.۱۵	۰.۱۰	۰.۱۰	۰.۱۵	۰.۱۲	۰.۰۹	۰.۱۶	۰.۱۵
MgO	۰.۰۱۱	۴۹.۵۴	۰.۰۰۴۷	۰.۰۰۰۱	۴۹.۵۱	۰.۰۰۰۴	۴۹.۹۶	۴۹.۳۸	۴۹.۸۱	۴۸.۸۸
CaO	۰.۰۰	۰.۰۱	۰.۰۰	۰.۰۱	۰.۰۳	۰.۰۰	۰.۰۲	۰.۰۰	۰.۰۱	۰.۰۰
Na ₂ O	۰.۰۳	۰.۰۰	۰.۰۰	۰.۰۰	۰.۰۰	۰.۰۰	۰.۰۰	۰.۰۰	۰.۰۰	۰.۰۲
K ₂ O	۰.۰۰	۰.۰۰	۰.۰۱	۰.۰۰۲	۰.۰۰	۰.۰۱	۰.۰۱	۰.۰۲	۰.۰۱	۰.۰۱
Total	۱۰۰.۰۰	۹۹.۷۷	۱۰۰.۸۳	۱۰۰.۲۶	۹۹.۸۲	۱۰۰.۲۶	۱۰۰.۰۳	۹۹.۵۸	۱۰۰.۰۳	۹۹.۶۵
Si	۰.۹۹	۱.۰۰	۰.۹۹	۰.۹۹	۱.۰۰	۰.۹۹	۱.۰۰	۱.۰۰	۱.۰۰	۱.۰۰
Ti	۰.۰۰	۰.۰۰	۰.۰۰	۰.۰۰	۰.۰۰	۰.۰۰	۰.۰۰	۰.۰۰	۰.۰۰	۰.۰۰
Al	۰.۰۰	۰.۰۰	۰.۰۰	۰.۰۰	۰.۰۰	۰.۰۰	۰.۰۰	۰.۰۰	۰.۰۰	۰.۰۰
Cr	۰.۰۰	۰.۰۰	۰.۰۰	۰.۰۰	۰.۰۰	۰.۰۰	۰.۰۰	۰.۰۰	۰.۰۰	۰.۰۰
Fe ⁺²	۰.۱۷	۰.۱۸	۰.۱۷	۰.۱۸	۰.۱۹	۰.۱۸	۰.۱۷	۰.۱۹	۰.۱۹	۰.۱۹
Fe ⁺³	۰.۰۱	۰.۰۰	۰.۰۲	۰.۰۱	۰.۰۰	۰.۰۱	۰.۰۲	۰.۰۰	۰.۰۱	۰.۰۰
Mn	۰.۰۰	۰.۰۰	۰.۰۰	۰.۰۰	۰.۰۰	۰.۰۰	۰.۰۰	۰.۰۰	۰.۰۰	۰.۰۰
Mg	۱.۸۱	۱.۸۰	۱.۸۲	۱.۸۱	۱.۸۱	۱.۸۲	۱.۸۲	۱.۸۱	۱.۸۱	۱.۸۱
Ca	۰.۰۰	۰.۰۰	۰.۰۰	۰.۰۰	۰.۰۰	۰.۰۰	۰.۰۰	۰.۰۰	۰.۰۰	۰.۰۰
Te	۰.۱۰	۰.۱۸	۰.۱۵	۰.۱۰	۰.۱۰	۰.۱۵	۰.۱۲	۰.۰۹	۰.۱۶	۰.۱۶
Sum	۳.۱۰۳	۳.۱۷۷	۳.۱۵۳	۳.۱۰۳	۳.۱۰۴	۳.۱۵۴	۳.۱۲۳	۳.۰۹۴	۳.۱۶۵	۳.۱۵۸
Fo	۹۰.۵۶	۹۰.۷۵	۹۰.۵۸	۹۰.۴۸	۹۰.۵۱	۹۰.۵۲	۹۰.۴۳	۹۰.۴۲	۹۰.۱۵	۹۰.۲۶
Fa	۹.۲۲	۹.۱۶	۹.۳۰	۹.۴۱	۹.۳۴	۹.۳۳	۹.۴۲	۹.۴۱	۹.۶۱	۹.۴۸
Mg [#]	۰.۹۱	۰.۹۲	۰.۹۲	۰.۹۱	۰.۹۱	۰.۹۱	۰.۹۱	۰.۹۱	۰.۹۱	۰.۹۱

دنباله جدول ۱

Sample	Hz								
No	OI 155	OI 156	OI 157	OI 158	OI 159	OI 160	OI 161	OI 162	OI 163
SiO ₂	۴۰.۶۹	۴۰.۷۰	۴۰.۶۵	۴۱.۰۱	۴۱.۲۴	۴۰.۹۶	۴۱.۱۵	۴۱.۱۱	۴۰.۶۲
TiO ₂	۰.۱۰	۰.۱۰	۰.۱۰	۰.۱۰	۰.۱	۰.۱	۰.۱۲	۰.۱۰	۰.۱
Al ₂ O ₃	۰.۱۰	۰.۱۰	۰.۱۲	۰.۱۲	۰.۱۰	۰.۱۰	۰.۱۰	۰.۱۰	۰.۱۰
Cr ₂ O ₃	۰.۰۲	۰.۰۳	۰.۰۱	۰.۰۰	۰.۰۱	۰.۰۰	۰.۰۰	۰.۰۰	۰.۰۰
FeO*	۹.۲۹	۹.۰۹	۹.۴۵	۹.۱۳	۹.۴۰	۹.۲۸	۹.۴۳	۹.۲۵	۹.۲۷
MnO	۰.۱۹	۰.۱۴	۰.۱۴	۰.۰۸	۰.۰۹	۰.۲۰	۰.۱۴	۰.۱۳	۰.۱۴
MgO	۴۹.۶۸	۴۹.۵۸	۴۹.۵۰	۴۰.۰۵	۴۰.۲۸	۴۰.۰۸	۴۹.۸۲	۴۰.۱۶	۴۹.۵۴
CaO	۰.۰۲	۰.۰۱	۰.۰۰	۰.۰۱	۰.۰۱	۰.۰۳	۰.۰۰	۰.۰۰	۰.۰۰
Na ₂ O	۰.۰۱	۰.۰۰	۰.۰۰	۰.۰۰	۰.۰۱	۰.۰۱	۰.۰۲	۰.۰۱	۰.۰۰
K ₂ O	۰.۰۰	۰.۰۲	۰.۰۲	۰.۰۱	۰.۰۲	۰.۰۲	۰.۰۱	۰.۰۱	۰.۰۰
Total	۹۹.۹۰	۹۹.۵۴	۹۹.۷۹	۱۰۰.۳۲	۱۰۱.۰۵	۱۰۰.۶۱	۱۰۰.۵۷	۱۰۰.۶۸	۹۹.۵۸
Si	۰.۹۹	۹.۰۰	۱.۰۰	۱.۰۰	۱.۰۰	۰.۹۹	۱.۰۰	۱.۰۰	۱.۰۰
Ti	۰.۰۰	۰.۰۰	۰.۰۰	۰.۰۰	۰.۰۰	۰.۰۰	۰.۰۰	۰.۰۰	۰.۰۰
Al	۰.۰۰	۰.۰۰	۰.۰۰	۰.۰۰	۰.۰۰	۰.۰۰	۰.۰۰	۰.۰۰	۰.۰۰
Cr	۰.۰۰	۰.۰۰	۰.۰۰	۰.۰۰	۰.۰۰	۰.۰۰	۰.۰۰	۰.۰۰	۰.۰۰
Fe ⁺²	۰.۱۸	۰.۱۸	۰.۱۹	۰.۱۸	۰.۱۸	۰.۱۸	۰.۱۹	۰.۱۸	۰.۱۸
Fe ⁺³	۰.۰۱	۰.۰۰	۰.۰۱	۰.۰۰	۰.۰۱	۰.۰۱	۰.۰۰	۰.۰۱	۰.۰۱
Mn	۰.۰۰	۰.۰۰	۰.۰۰	۰.۰۰	۰.۰۰	۰.۰۰	۰.۰۰	۰.۰۰	۰.۰۰
Mg	۱.۸۱	۱.۸۱	۱.۸۱	۱.۸۱	۱.۸۱	۱.۸۱	۱.۸۱	۱.۸۱	۱.۸۱
Ca	۰.۰۰	۰.۰۰	۰.۰۰	۰.۰۰	۰.۰۰	۰.۰۰	۰.۰۰	۰.۰۰	۰.۰۰
Te	۰.۲۰	۰.۱۵	۰.۱۴	۰.۰۸	۰.۰۹	۰.۲۱	۰.۱۴	۰.۱۳	۰.۱۵
Sum	۳۱.۹۶	۳۱.۵۰	۳۱.۴۵	۳۰.۸۲	۳۰.۹۲	۳۲.۰۵	۳۱.۴۴	۳۱.۳۳	۳۱.۴۵
Fo	۹۰.۳۰	۹۰.۵۳	۹۰.۲۰	۹۰.۶۳	۹۰.۴۱	۹۰.۳۶	۹۰.۲۷	۹۰.۵۰	۹۰.۳۷
Fa	۹.۴۷	۹.۳۱	۹.۶۶	۹.۲۷	۹.۴۹	۹.۳۹	۹.۵۹	۹.۳۶	۹.۴۹
Mg#	۰.۹۱	۰.۹۱	۰.۹۱	۰.۹۱	۰.۹۱	۰.۹۰	۰.۹۱	۰.۹۱	۰.۹۱

جدول ۲ نتایج آنالیز ریزپردازشی ارتوپیروکسن و کلینوپیروکسن در هارزبوزرثیت بر اساس درصد وزنی و فرمول ساختاری بر اساس ۶ اکسیژن.

sample	Hz	Hz	Hz	Hz	Hz	Hz	Hz	Hz	Hz	Hz
No	Cpx164	Cpx165	Cpx166	Cpx 167	Cpx 168	Cpx 169	Cpx 170	Cpx 171	Cpx 172	Cpx 173
SiO ₂	۵۳.۷۵	۵۴.۳۱	۵۶.۷۹	۵۲.۷۷	۴۱.۳۱	۵۴.۱۳	۵۲.۸۲	۵۲.۴۹	۵۲.۹۶	۵۳.۴۱
TiO ₂	۰.۱۲	۰.۰۰	۰.۰۰	۰.۰۰	۰.۰۲	۰.۰۰	۰.۰۲	۰.۰۴	۰.۱۴	۰.۰۰
Al ₂ O ₃	۱.۷۱	۱.۱۵	۱.۳۵	۲.۴۳	۰.۴۵	۱.۳۶	۲.۱۵	۱.۷۱	۲.۳۵	۲.۲۷
Cr ₂ O ₃	۰.۸۵	۰.۱۷	۰.۷۶	۱.۳	۰.۴	۰.۳۰	۰.۹۲	۰.۵۴	۰.۷۷	۰.۹۳
FeO*	۱.۸۳	۱.۷۴	۱.۸۳	۱.۹۱	۰.۷۸	۱.۹۱	۱.۷۴	۱.۷۲	۱.۸۸	۱.۷۷
MnO	۰.۰۶	۰.۰۸	۰.۱۵	۰.۱۰	۰.۱۴	۰.۰۹	۰.۰۸	۰.۱۰	۰.۰۵	۰.۰۷
MgO	۱۷.۲۶	۱۷.۷۷	۱۷.۲۷	۱۶.۶۸	۳۴.۲۴	۱۷.۳۵	۱۷.۱۶	۱۷.۳۰	۱۷.۰۶	۱۶.۹۴
CaO	۲۴.۴۹	۲۴.۴۲	۲۴.۰۱	۲۴.۶۴	۰.۷۰	۲۴.۳۸	۲۴.۲۹	۲۵.۱۲	۲۴.۹۱	۲۴.۷۷
Na ₂ O	۰.۰۶	۰.۳	۰.۳	۰.۰۸	۰.۰۰	۰.۰۸	۰.۰۵	۰.۰۳	۰.۰۶	۰.۰۸
K ₂ O	۰.۰۰	۰.۰۰	۰.۰۲	۰.۰۰	۰.۰۲	۰.۰۱	۰.۰۰	۰.۰۱	۰.۰۲	۰.۰۳
Total	۹۹.۸۲	۹۹.۶۷	۱۰۱.۶۰	۹۹.۶۲	۸۹.۶۹	۹۹.۹۰	۹۹.۲۲	۱۰۰.۰۷	۱۰۰.۲۹	۱۰۰.۲۷
Si	۱.۹۵۵	۱.۹۷۴	۲.۰۳۴	۱.۹۲۷	۱.۶۷۶	۱.۹۶۴	۱.۹۳۳	۱.۹۴۱	۲.۹۱۹	۱.۹۳۷
Ti	۰.۰۰۱	۰.۰۰۰	۰.۰۰۰	۰.۰۰۰	۰.۰۰۱	۰.۰۰۰	۰.۰۰۱	۰.۰۰۱	۰.۰۰۰	۰.۰۰۰
Al	۰.۰۷۳	۰.۰۴۹	۰.۰۵۷	۰.۱۰	۰.۰۲۲	۰.۰۵۸	۰.۰۹۳	۰.۰۷۳	۰.۱۰۰	۰.۰۹۷
Cr	۰.۰۱۹	۰.۰۰۵	۰.۰۰۷	۰.۰۳۰	۰.۰۰۱	۰.۰۰۹	۰.۰۲۷	۰.۰۱۵	۰.۰۲۸	۰.۰۲۷
Fe ⁺³	۰.۰۰۱	۰.۰۰۰	۰.۰۰۰	۰.۰۱۵	۰.۶۲۴	۰.۰۱۰	۰.۰۱۸	۰.۰۳۰	۰.۰۳۵	۰.۰۰۸
Fe ⁺²	۰.۰۵۵	۰.۰۵۳	۰.۰۵۵	۰.۰۴۳	۰.۴۲۸	۰.۰۴۸	۰.۰۳۵	۰.۰۲۲	۰.۰۲۲	۰.۰۴۵
Mn	۰.۰۰۲	۰.۰۰۲	۰.۰۰۲	۰.۰۰۳	۰.۰۰۵	۰.۰۰۳	۰.۰۰۲	۰.۰۰۳	۰.۰۰۲	۰.۰۰۲
Mg	۰.۹۳۶	۰.۹۶۳	۰.۹۲۲	۰.۹۰۸	۲.۰۷۰	۰.۹۵۵	۰.۹۳۶	۰.۹۶۳	۰.۹۲۲	۰.۹۱۶
Ca	۰.۹۵۴	۰.۹۵۱	۰.۹۲۱	۰.۹۶۴	۰.۰۳۰	۰.۹۴۸	۰.۹۵۲	۰.۹۷۶	۰.۹۶۷	۰.۹۶۲
Na	۰.۰۰۴	۰.۰۰۲	۰.۰۰۲	۰.۰۰۴	۰.۰۰۰	۰.۰۰۶	۰.۰۰۴	۰.۰۰۲	۰.۰۰۴	۰.۰۰۶
Sum	۲۰.۴۵	۲۰.۲۶	۱.۹۶۶	۲۰.۷۳	۲۳.۲۴	۲۰.۳۶	۲۰.۶۷	۲۰.۵۹	۲۰.۸۱	۲۰.۶۳
Mg#	۰.۹۴	۰.۹۵	۰.۹۴	۰.۹۵	۰.۹۶	۰.۹۵	۰.۹۶	۰.۹۸	۰.۹۵	۰.۹۵
Wo	۴۹.۰۴	۴۸.۳۵	۴۸.۵۴	۴۹.۹۴	۱۳۲	۴۸.۳۵	۴۹.۰۵	۴۹.۷۱	۴۹.۷۱	۴۹.۸۲
En	۴۸.۰۹	۴۸.۹۶	۴۸.۵۸	۴۷.۰۴	۹۰.۱۴	۴۸.۷۰	۴۸.۲۱	۴۷.۶۳	۴۷.۳۷	۴۷.۴۰
Fs	۲۰.۸۶	۲۰.۶۹	۲۰.۹۱	۲۰.۰۲	۱.۰۴	۲.۹۶	۲.۷۴	۲.۶۶	۲.۹۳	۲.۷۸

دنباله‌ی جدول ۲

sample	Hz	Hz	Hz	Hz	Hz	Hz	Hz	Hz	Hz	Hz
No	Cpx 174	Cpx 175	Opx 176	Opx 177	Opx 178	Opx 179	Opx 180	Opx 181	Opx 182	Opx 183
SiO ₂	۵۲,۸۲	۵۳,۴۹	۵۵,۵۸	۵۵,۹۶	۵۲,۷۶	۵۵,۷۱	۵۵,۵۶	۵۵,۴۳	۵۶,۰۱	۵۶,۱۳
TiO ₂	۰,۰۲	۰,۰۴	۰,۰۸	۰,۰۴	۰,۰۰	۰,۰۲	۰,۰۷	۰,۰۰	۰,۰۰	۰,۰۱
Al ₂ O ₃	۲,۱۵	۱,۷۱	۲,۶۷	۲,۵۱	۲,۱۹	۲,۴۶	۲,۷۴	۲,۶۶	۲,۷۲	۲,۴۰
Cr ₂ O ₃	۰,۹۲	۰,۵۴	۰,۸۷	۰,۷۹	۰,۶۵	۰,۷۴	۰,۷۷	۰,۸۸	۰,۷۰	۰,۶۸
FeO*	۱,۷۴	۱,۷۲	۵,۹۲	۶,۱۳	۶,۲۶	۶,۰۰	۶,۲۱	۵,۷۱	۶,۰۴	۶,۰۲
MnO	۰,۰۸	۰,۱۰	۰,۱۷	۰,۱۵	۰,۱۳	۰,۱۶	۰,۱۵	۰,۱۴	۰,۱۴	۰,۱۲
MgO	۱۷,۱۶	۱۷,۳۰	۳۳,۶۳	۳۳,۶۵	۳۵,۲۵	۳۳,۰۹	۳۳,۷۵	۳۲,۳۳	۳۳,۶۶	۳۳,۳۱
CaO	۲۴,۲۹	۲۵,۱۲	۰,۴۱	۱,۰۱	۰,۳۸	۱,۰۸	۰,۳۱	۲,۶۹	۱,۲۵	۱,۱۶
Na ₂ O	۰,۰۵	۰,۰۳	۰,۰۰	۰,۰۱	۰,۰۲	۰,۰۰	۰,۰۱	۰,۰۱	۰,۰۰	۰,۰۰
K ₂ O	۰,۰۰	۰,۰۱	۰,۰۱	۰,۰۲	۰,۰۰	۰,۰۲	۰,۰۱	۰,۰۰	۰,۰۲	۰,۰۰
Total	۹۹,۲۲	۱۰۰,۰۷	۹۹,۳۳	۱۰۰,۲۷	۹۷,۶۳	۹۹,۷۸	۹۹,۵۸	۹۹,۸۵	۱۰۰,۰۴	۹۹,۸۳
Si	۱,۹۳۳,۱۱۹	۱,۹۴۱	۱,۹۳۱	۱,۹۳۸	۱,۸۹۸	۱,۹۳۱	۱,۹۲۵	۱,۹۲۴	۱,۹۲۴	۱,۹۴۵
Ti	۰,۰۰۱	۰,۰۰۱	۰,۰۰۲	۰,۰۰۱	۰,۰۰۰	۰,۰۰۱	۰,۰۰۲	۱,۰۰۰	۱,۰۰۰	۰,۰۰۰
Al	۰,۰۹۳	۰,۰۷۳	۰,۱۰۹	۰,۱۰۲	۰,۰۹۳	۰,۱۰۱	۰,۱۱۲	۰,۱۰۹	۰,۱۱۰	۰,۰۹۸
Cr	۰,۰۲۷	۰,۰۱۵	۰,۰۲۴	۰,۰۲۲	۰,۰۱۸	۰,۰۲۰	۰,۰۲۱	۰,۰۲۴	۰,۰۱۹	۰,۰۱۹
Fe ⁺³	۰,۰۱۸	۰,۰۳۰	۰,۰۰۱	۰,۰۲۰	۰,۰۹۵	۰,۰۱۶	۰,۰۱۴	۰,۰۲۰	۰,۰۲۳	۰,۰۰
Fe ⁺²	۰,۰۳۵	۰,۰۲۲	۰,۱۷۱	۰,۱۵۶	۰,۰۹۳	۰,۱۵۸	۰,۱۶۶	۰,۱۴۶	۰,۱۵۰	۰,۱۷۴
Mn	۰,۰۰۲	۰,۰۰۳	۰,۰۰۵	۰,۰۰۴	۰,۰۰۴	۰,۰۰۵	۰,۰۰۴	۰,۰۰۴	۰,۰۰۴	۰,۰۰۳
Mg	۰,۹۳۶	۰,۹۶۳	۱,۷۴۲	۱,۷۲۸	۱,۷۸۳	۱,۷۱۰	۱,۷۴۳	۱,۶۷۳	۱,۷۲۴	۱,۷۲۱
Ca	۰,۹۵۲	۰,۹۷۶	۰,۰۱۵	۰,۰۳۷	۰,۰۱۵	۰,۰۵۹	۰,۰۱۲	۰,۱۰۰	۰,۰۴۶	۰,۰۴۳
Na	۰,۰۰۴	۰,۰۰۲	۰,۰۰۰	۰,۰۰۱	۰,۰۰۱	۰,۰۰۰	۰,۰۰۱	۰,۰۰۱	۰,۰۰۰	۰,۰۰
Sum	۲,۱۸۱	۲,۰۶۶	۲,۰۶۹	۲,۰۷۲	۲,۱۰۲	۲,۰۶۹	۲,۰۷۵	۲,۰۷۶	۲,۰۷۶	۲,۰۰۵
Mg [#]	۰,۹۶	۰,۹۸	۰,۹۱	۰,۹۲	۰,۹۵	۰,۹۲	۰,۹۱	۰,۹۲	۰,۹۲	۰,۹۱
Wo	۴۹,۰۵	۴۹,۷۱	۰,۷۹	۱,۹۲	۰,۷۴	۲,۰۲	۰,۵۹	۵,۱۶	۲,۳۷	۲,۲۲
En	۴۸,۲۱	۴۷,۸۳	۹,۰۲۹	۸۸,۹۹	۸۹,۷۸	۸۸,۰۳	۹,۰۱۰	۸۶,۲۹	۸۸,۷۰	۸۸,۷۸
Fs	۲,۷۴	۲,۶۶	۸,۹۲	۹,۰۹	۹,۴۸	۸,۹۵	۹,۳۰	۸,۰۵	۸,۹۳	۹,۰۰

دنباله‌ی جدول ۲

sample	Hz	Hz	Hz	Hz						
No	Opx 186	Opx 187	Opx 188	Opx 189	Opx 191	Opx 192	Opx 193			
SiO ₂	۵۶,۲۲	۵۷,۴۶	۵۷,۴۱	۵۶,۴۴	۵۶,۳۸	۵۶,۳۷	۵۶,۰۶			
TiO ₂	۰,۰۰	۰,۰۵	۰,۰۴	۰,۰۲	۰,۰۲	۰,۰۱	۰,۰۰			
Al ₂ O ₃	۲,۳۹	۲,۸۴	۱,۶۹	۲,۷۵	۲,۲۲	۱,۷۰	۲,۷۸			
Cr ₂ O ₃	۰,۷۱	۰,۷۵	۰,۳۰	۰,۷۴	۰,۶۱	۰,۳۱	۰,۷۹			
FeO*	۶,۲۷	۹,۱۰	۶,۳۸	۶,۲۰	۵,۶۳	۹,۱۴	۹,۲۸			
MnO	۰,۱۴	۰,۱۷	۰,۱۴	۰,۱۴	۰,۱۶	۰,۱۷	۰,۱۸			
MgO	۳۲,۴۲	۳۲,۴۱	۳۴,۶۶	۳۴,۰۸	۳۴,۳۰	۳۲,۷۴	۳۲,۷۵			
CaO	۲,۵۲	۰,۶۵	۰,۲۳	۰,۱۴	۰,۰۱	۲,۶۶	۰,۳۶			
Na ₂ O	۰,۰۰	۰,۰۰	۰,۰۱	۰,۰۲	۰,۰۱	۰,۰۰	۰,۰۱			
K ₂ O	۰,۰۰	۰,۰۰	۰,۰۲	۰,۰۱	۰,۰۲	۰,۰۱	۰,۰۰			
Total	۱۰۰,۰۲	۱۰۱,۲۴	۱۰۰,۶۹	۱۰۰,۸۱	۱۰۰,۵۹	۹۹,۷۱	۱۰۰,۲۲			
Si	۱,۹۴	۱,۹۵	۱,۹۶	۱,۹۲	۱,۹۳	۱,۹۵	۱,۹۳			
Ti	۰,۰۰	۰,۰۰	۰,۰۰	۰,۰۰	۰,۰۰	۰,۰۰	۰,۰۰			
Al	۰,۰۹	۰,۱۱	۰,۰۶	۰,۱۱	۰,۰۹	۰,۰۷	۰,۱۱			
Cr	۰,۰۱	۰,۰۲	۰,۰۰۸	۰,۰۲	۰,۰۱۷	۰,۰۰۹	۰,۰۰۲			
Fe ⁺³	۰,۰۰	۰,۰۰	۰,۰۰	۰,۰۱۲	۰,۰۲۴	۰,۰۰۷	۰,۰۰۳			
Fe ⁺²	۰,۱۵	۰,۱۵	۱,۰۹	۰,۱۷	۰,۱۶	۱,۱۰	۱,۱۰			
Mn	۰,۰۰۴	۰,۰۰۵	۰,۰۰۴	۰,۰۰۴	۰,۰۰۵	۰,۰۰۵	۰,۰۰۵			
Mg	۱,۶۷	۱,۷۰	۱,۶۶	۱,۷۳	۱,۷۵	۱,۶۹	۱,۷۳			
Ca	۰,۰۹	۰,۰۲	۰,۰۰۸	۰,۰۱۲	۰,۰۱۹	۰,۰۹۹	۰,۰۱۳			
Na	۰,۰۰	۰,۰۰	۰,۰۰۱	۰,۰۰۱	۰,۰۰۱	۰,۰۰	۰,۰۰۱			
Sum	۲,۰۵۲	۲,۰۴۲	۲,۰۳۶	۲,۰۷۱	۲,۰۶۷	۲,۰۴۳	۲,۰۶۸			
Mg [#]	۹۱,۱۲	۹۰,۶۸	۹۰,۸۸	۹۱,۰۶	۹۱,۸۴	۹۱,۴۳	۹۰,۶۸			
Wo	۴,۸۴	۱,۲۵	۰,۴۳	۰,۶۴	۰,۹۶	۵,۰۵	۰,۹۶			
En	۶۹,۷۱	۸۹,۰۵	۹,۰۹	۸۹,۹۱	۸۹,۸۳	۸۶,۶۶	۸۹,۹۲			
Fs	۸,۴۵	۹,۲۰	۹,۰۸	۹,۴۴	۹,۲۱	۸,۴۹	۹,۳۹			

جدول ۳ نتایج تجزیه‌ی ریزپردازشی الکترونی اسپینل در هارژبورزیت بر اساس درصد وزنی و فرمول ساختاری بر اساس ۴ اکسیژن.

sample	Spl 12	Spl 13	Spl 14	Spl 15	Spl 16	Spl 17	Spl 18	Spl 19	Spl 20	Spl 21
SiO ₂	۰,۰۰	۰,۰۱	۰,۰۴	۰,۰۵	۰,۰۳	۰,۰۱	۰,۰۵	۰,۰۲	۰,۰۵	۰,۰۰
TiO ₂	۰,۰۲	۰,۰۶	۰,۰۰	۰,۰۰	۰,۰۱	۰,۰۰	۰,۰۰	۰,۰۴	۰,۰۲	۰,۰۴
Al ₂ O ₃	۳۲,۰۵	۳۰,۷۰	۳۴,۱۷	۳۶,۶۵	۳۷,۴۳	۳۵,۰۴	۳۷,۹۴	۳۱,۳۶	۳۱,۱۵	۳۱,۹۲
Cr ₂ O ₃	۳۵,۰۶	۳۶,۷۷	۳۲,۹۶	۳۰,۵۰	۲۸,۴۹	۳۲,۳۵	۲۹,۰۲	۳۵,۴۲	۳۶,۱۲	۳۵,۶۰
FeO*	۱۸,۰۸	۱۹,۱۹	۱۸,۵۱	۱۸,۱۷	۱۸,۷۸	۱۷,۹۰	۱۷,۰۴	۱۹,۰۸	۱۸,۶۹	۱۸,۵۶
MnO	۰,۲۴	۰,۲۷	۰,۲۲	۰,۲۰	۰,۲۷	۰,۲۱	۰,۲۱	۰,۲۸	۰,۲۳	۰,۲۴
MgO	۱۴,۴۳	۱۲,۴۴	۱۴,۳۶	۱۴,۶۱	۱۴,۷۳	۱۴,۳۷	۱۵,۳۰	۱۳,۷۰	۱۳,۸۰	۱۴,۰۴
CaO	۰,۰۰	۰,۰۰	۰,۰۰	۰,۰۱	۰,۰۸	۰,۰۲	۰,۰۲	۰,۰۱	۰,۰۱	۰,۰۰
Total	۱۰۰,۷۸	۱۰۰,۸	۱۰۲,۱۴	۱۰۱,۴۶	۹۹,۸۳	۹۹,۹۱	۹۹,۵۸	۹۹,۹۲	۱۰۰,۰۷	۱۰۰,۴۰
Si	۰,۰۰	۰,۰۰	۰,۰۰۱	۰,۰۰۱	۰,۰۰۱	۰,۰۰۰	۰,۰۰۱	۰,۰۰۱	۰,۰۰۱	۰,۰۰۱
Ti	۰,۰۰	۰,۰۰	۰,۰۰۱	۰,۰۰۰	۰,۰۰۰	۰,۰۰۰	۰,۰۰۱	۰,۰۰۰	۰,۰۰۰	۰,۰۰۱
Al	۱,۱۱۸	۱,۰۶۸	۱,۱۶۸	۱,۲۴۰	۱,۲۶۶	۱,۱۹۸	۱,۲۷۸	۱,۰۹۱	۱,۰۸۳	۱,۱۰۲
Cr	۰,۸۰۸	۰,۸۵۸	۰,۷۵۶	۰,۶۹۲	۰,۶۹۶	۰,۷۴۲	۰,۶۵۶	۰,۸۲۷	۰,۸۴۲	۰,۸۲۴
Fe ⁺³	۰,۰۷۳	۰,۰۷۰	۰,۰۷۴	۰,۰۶۵	۰,۰۸۶	۰,۰۶۰	۰,۰۶۳	۰,۰۷۹	۰,۰۷۱	۰,۰۷۲
Fe ⁺²	۰,۳۶۸	۰,۴۰۳	۰,۳۷۵	۰,۳۷۱	۰,۳۶۵	۰,۳۷۴	۰,۳۴۴	۰,۳۹۲	۰,۳۹۰	۰,۳۸۲
Mn	۰,۰۰۶	۰,۰۰۷	۰,۰۰۵	۰,۰۰۵	۰,۰۰۷	۰,۰۰۵	۰,۰۰۵	۰,۰۰۷	۰,۰۰۶	۰,۰۰۶
Mg	۰,۶۲۷	۰,۵۹۱	۰,۶۲۱	۰,۶۲۵	۰,۶۳۰	۰,۶۲۱	۰,۶۵۲	۰,۶۰۳	۰,۶۰۷	۰,۶۱۳
Sum	۳	۳	۳	۳	۳	۳	۳	۳	۳	۳
Mg [#]	۶۳,۰۴	۵۹,۴۵	۶۲,۳۵	۶۲,۷۴	۶۳,۳۵	۶۲,۴۳	۶۵,۴۴	۶۰,۶۲	۶۰,۹۰	۶۱,۶۰
Cr [#]	۴۱,۹۵	۴۴,۰۵	۳۹,۲۹	۳۵,۸۳	۳۳,۸	۳۸,۲۵	۳۳,۹۱	۴۳,۱۱	۴۳,۷۵	۴۲,۸۰
Fe [#]	۱۶,۵	۱۴,۸	۱۶,۵	۱۴,۹	۱۹,۰۸	۱۳,۸	۱۵,۴۷	۱۶,۷۷	۱۷,۱۴	۱۵,۸۶

دنباله‌ی جدول ۳

sample	Spl 22	Spl 23	Spl 28	Spl 29	Spl 24	Spl 25	Spl 26	Spl 27	Spl 28	Spl 29
SiO ₂	۰,۰۳	۰,۰۲	۰,۰۲	۰,۰۲	۰,۰۲	۰,۰۳	۰,۰۳	۰,۰۰	۰,۰۲	۰,۰۲
TiO ₂	۰,۰۰	۰,۰۳	۰,۰۲	۰,۰۰	۰,۰۵	۰,۰۴	۰,۰۴	۰,۰۲	۰,۰۲	۰,۰۰
Al ₂ O ₃	۳۲,۳۴	۳۰,۳۶	۳۲,۷۷	۳۲,۲۸	۳۴,۳۵	۳۲,۳۹	۳۲,۰۴	۳۱,۲۴	۳۲,۷۷	۳۲,۲۸
Cr ₂ O ₃	۳۲,۶۲	۳۷,۷۷	۳۴,۲۰	۳۲,۹۹	۳۲,۱۳	۳۴,۵۹	۳۴,۶۶	۳۴,۹۱	۳۴,۲۰	۳۲,۹۹
FeO*	۱۸,۳۵	۱۹,۰۰	۱۸,۹۷	۱۸,۲۲	۱۸,۳۵	۱۸,۶۳	۱۸,۴۸	۱۹,۴۳	۱۸,۹۷	۱۸,۲۲
MnO	۰,۲۲	۰,۲۳	۰,۲۶	۰,۲۷	۰,۲۳	۰,۲۵	۰,۲۶	۰,۲۴	۰,۲۶	۰,۲۷
MgO	۱۴,۱۲	۱۷,۸۲	۱۴,۱۸	۱۴,۶۰	۱۴,۳۷	۱۴,۱۷	۱۴,۵۳	۱۳,۹۸	۱۴,۱۸	۱۴,۶۰
CaO	۰,۱	۰,۰۱	۰,۰۰	۰,۰۴	۰,۰۰	۰,۰۰	۰,۰۲	۰,۰۳	۰,۰۰	۰,۰۴
Total	۹۹,۷-	۱۰۰,۵۴	۱۰۰,۴۳	۱۰۰,۴۲	۱۰۰,۴۹	۱۰۱,۱۰	۱۰۱,۰۶	۹۹,۸۵	۱۰۰,۴۳	۱۰۰,۴۲
Si	۰,۰۰	۰,۰۱	۰,۰۰۱	۰,۰۰۱	۰,۰۰۱	۰,۰۰۱	۰,۰۰۱	۰,۰۰۰	۰,۰۰۱	۰,۰۰۱
Ti	۰,۰۰	۰,۰۰۱	۰,۰۰۰	۰,۰۰۰	۰,۰۰۱	۰,۰۰۱	۰,۰۰۱	۰,۰۰۰	۰,۰۰۰	۰,۰۰۰
Al	۱,۱۵۰	۱,۰۵۶	۱,۱۲۶	۱,۱۳۹	۱,۱۷۱	۱,۱۳۹	۱,۱۲۶	۱,۱۲۶	۱,۱۲۶	۱,۱۳۹
Cr	۰,۷۷۸	۰,۸۶۹	۰,۷۸۸	۰,۷۸۰	۰,۷۸۸	۰,۷۹۱	۰,۷۹۲	۰,۸۱۴	۰,۷۸۸	۰,۷۸۰
Fe ⁺³	۰,۰۷۰	۰,۰۷۱	۰,۰۸۴	۰,۰۸۰	۰,۰۶۸	۰,۰۶۶	۰,۰۷۸	۰,۰۹۹	۰,۰۸۴	۰,۰۸۰
Fe ⁺²	۰,۳۷۹	۰,۳۹۶	۰,۳۷۸	۰,۳۶۲	۰,۳۷۶	۰,۳۸۴	۰,۳۶۹	۰,۳۸۰	۰,۳۷۸	۰,۳۶۲
Mn	۰,۰۰۵	۰,۰۰۶	۰,۰۰۶	۰,۰۰۷	۰,۰۰۶	۰,۰۰۶	۰,۰۰۶	۰,۰۰۶	۰,۰۰۶	۰,۰۰۷
Mg	۰,۶۱۶	۰,۵۹۹	۰,۶۱۶	۰,۶۳۲	۰,۶۲۰	۰,۶۱۱	۰,۶۲۶	۰,۶۱۵	۰,۶۱۶	۰,۶۳۲
Sum	۳	۳	۳	۳	۳	۳	۳	۳	۳	۳
Mg [#]	۶۱,۹۰	۶۰,۱۸	۶۱,۹۵	۶۳,۵۷	۶۲,۲۲	۶۱,۳۹	۶۲,۹۳	۶۱,۸۰	۶۱,۹۵	۶۳,۵۷
Cr [#]	۴۰,۳۶	۴۵,۱۶	۴۱,۱۸	۴۰,۶۶	۳۹,۲۸	۴۱,۰۰	۴۱,۳۱	۴۲,۸۵	۴۱,۱۸	۴۰,۶۶
Fe [#]	۱۵,۵۹	۱۵,۲	۱۸,۱۸	۱۸,۰۹	۱۵,۳۱	۱۴,۶۷	۱۷,۴۵	۲۰,۶۷	۱۸,۱۸	۱۸,۰۹

دنباله جدول ۳

sample	Spl 31	Spl 32	Spl 33	Spl 34	Spl 35	Spl 37	Spl 38	Spl 39	Spl 40	Spl 41
SiO ₂	۰,۰۴	۰,۰۱	۰,۰۵	۰,۰۳	۰,۰۰	۰,۰۳	۰,۰۲	۰,۰۲	۰,۰۱	۰,۰۲
TiO ₂	۰,۰۲	۰,۰۳	۰,۰۴	۰,۰۱	۰,۰۱	۰,۰۲	۰,۰۱	۰,۰۲	۰,۰۳	۰,۰۱
Al ₂ O ₃	۲۱,۱۳	۳۲,۱۲	۳۶,۲۱	۳۲,۹۱	۳۱,۲۰	۳۱,۶۲	۳۴,۱۲	۳۴,۲۲	۳۴,۶۳	۳۱,۳۱
Cr ₂ O ₃	۳۶,۲۹	۳۵,۰۸	۳۱,۴۸	۳۴,۲۵	۳۶,۱۷	۳۵,۰۲	۳۳,۱۳	۳۲,۸۳	۳۱,۷۴	۳۵,۶۳
FeO*	۱۹,۶۸	۱۸,۸۶	۱۷,۳۶	۱۹,۰۴	۱۹,۳۱	۱۹,۶۸	۱۸,۲۹	۱۸,۷۷	۱۸,۶۴	۱۹,۰۶
MnO	۰,۳۰	۰,۲۷	۰,۲۶	۰,۲۶	۰,۲۶	۰,۲۷	۰,۲۴	۰,۲۷	۰,۲۷	۰,۲۸
MgO	۱۳,۹۵	۱۴,۱۱	۱۵,۰۱	۱۴,۳۴	۱۳,۸۶	۱۳,۸۰	۱۴,۱۴	۱۴,۲۵	۱۴,۴۹	۱۳,۵۷
CaO	۰,۰۰	۰,۰۱	۰,۰۷	۰,۰۰	۰,۰۰	۰,۰۱	۰,۰۲	۰,۰۲	۰,۰۱	۰,۰۱
Total	۱۰۱,۴۱	۱۰۰,۴۹	۱۰۰,۴۸	۱۰۰,۹۹	۱۰۰,۸۱	۱۰۰,۴۵	۹۹,۹۶	۱۰۰,۴۰	۹۹,۸۱	۹۹,۸۹
Si	۰,۰۰۱	۰,۰۰۰	۰,۰۰۱	۰,۰۰۱	۰,۰۰۰	۰,۰۰۱	۰,۰۰۱	۰,۰۰۱	۰,۰۰۰	۰,۰۰۱
Ti	۰,۰۰۰	۰,۰۰۱	۰,۰۰۱	۰,۰۰۰	۰,۰۰۰	۰,۰۰۱	۰,۰۰۱	۰,۰۰۱	۰,۰۰۱	۰,۰۰۰
Al	۱,۰۶۹	۱,۱۰۶	۱,۲۲۲	۱,۱۲۴	۱,۰۷۷	۱,۰۹۳	۱,۱۷۱	۱,۱۶۹	۱,۱۸۵	۱,۱۹۱
Cr	۰,۸۳۶	۰,۸۱۱	۰,۷۱۳	۰,۷۸۷	۰,۸۳۸	۰,۸۱۲	۰,۷۶۳	۰,۷۵۲	۰,۷۲۸	۰,۸۳۳
Fe ⁺³	۰,۰۹۱	۰,۰۸۱	۰,۰۶۱	۰,۰۸۶	۰,۰۸۵	۰,۰۹۱	۰,۰۶۵	۰,۰۷۶	۰,۰۸۵	۰,۰۷۵
Fe ⁺²	۰,۳۸۸	۰,۳۸۰	۰,۳۵۵	۰,۳۷۵	۰,۳۸۸	۰,۳۹۱	۰,۳۸۱	۰,۳۷۹	۰,۳۶۷	۰,۳۹۶
Mn	۰,۰۰۷	۰,۰۰۷	۰,۰۰۶	۰,۰۰۶	۰,۰۰۶	۰,۰۰۷	۰,۰۰۶	۰,۰۰۷	۰,۰۰۷	۰,۰۰۷
Mg	۰,۶۰۶	۰,۶۱۵	۰,۶۴۱	۰,۶۲۰	۰,۶۰۵	۰,۶۰۳	۰,۶۱۴	۰,۶۱۶	۰,۶۲۷	۰,۵۹۸
Sum	۳	۳	۳	۳	۳	۳	۳	۳	۳	۳
Mg [#]	۶۰,۹۶	۶۱,۸۲	۶۴,۳۴	۶۲,۲۹	۶۰,۹۱	۶۰,۶۶	۶۱,۷۲	۶۱,۹۳	۶۳,۰۶	۶۰,۱۶
Cr [#]	۴۳,۸۸	۴۲,۲۹	۳۶,۸۴	۴۱,۱۸	۴۳,۲۷	۴۲,۶۳	۳۹,۴۴	۳۹,۱۶	۳۸,۰۸	۴۲,۲۹
Fe ^{3#}	۰,۰۵	۰,۰۴	۰,۰۳	۰,۰۴	۰,۰۴	۰,۰۵	۰,۰۳	۰,۰۴	۰,۰۴	۰,۰۴

$$\text{Mg}^{\#} = \text{Mg}/(\text{Mg} + \text{Fe}^{+2})$$

$$\text{Fe}^{\#} = \text{Fe}^{+3}/(\text{Fe}^{+3} + \text{Fe}^{+2})$$

$$\text{Cr}^{\#} = \text{Cr}/(\text{Cr} + \text{Al})$$

در نواحی جنوب و جنوب شرقی روستای فریزنوک رخنمون دارند (شکل ۱). گدازه‌ها اغلب دارای ساخت بالشی بوده و با میان لایه‌هایی از شبیل‌های ارغوانی مشاهده می‌شوند. نهشته‌های فلیشی کرتاسه و پالتوژن در بخش‌های جنوبی، مرکزی و شمالی منطقه‌ی مورد بررسی مشاهده می‌شوند. رخنمون‌های کوچکی از گرانیت، گرانوپیوریت، دیبوریت و کوارتز دیبوریت پورفیری به درون مجموعه فلیشی نفوذ کرده‌اند که به ائوسن [۱] واپس‌تهداند.

هارزبورزیت : بافت‌های غالب در این واحد سنگی، گرانوبلاستیک، پورفیروکلاستیک و مشبک است. حضور بافت پورفیروکلاستیکی (شکل ۲-الف) حاکی از تاثیر دگرشکلی با دمای پایین بر این سنگ‌هاست. آثار دگرشکلی پلاستیک که در دمای بالا رخ می‌دهد [۱۶، ۱۵]، از جمله نوارشکن (Kink band) و در پیروکسن‌ها (شکل ۲-ب) مشاهده می‌گردد. الیوین، ارتپیروکسن و کلینوپیروکسن کانی‌های اصلی و کروم اسپینل کانی فرعی این واحد را می‌سازد. الیوین‌های نسبتاً تازه به صورت دانه‌های ریزی (کوچکتر از ۵ میلیمتر) در اطراف

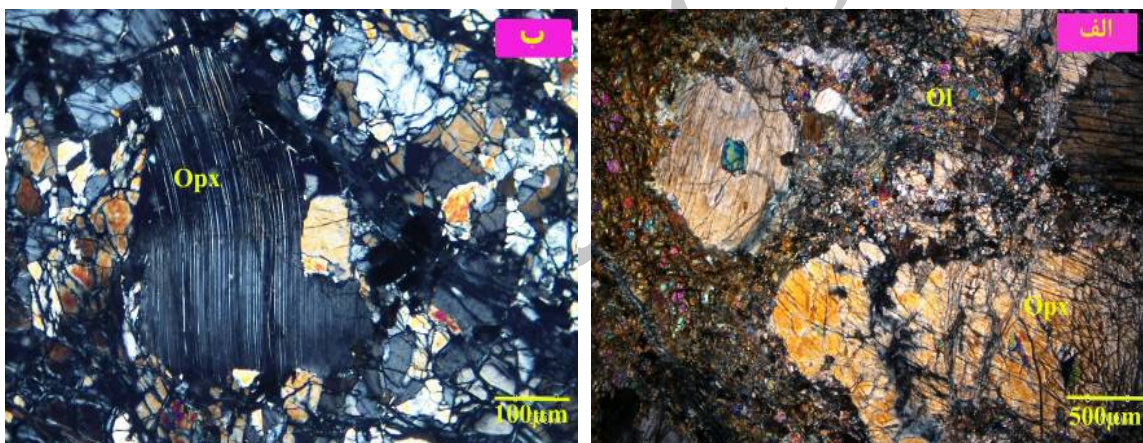
زمین‌شناسی و سنگ‌نگاری منطقه‌ی مورد بررسی در شمال غربی بیرجند قرار گرفته و بخشی از مجموعه افیولیت ملانژ زون جوش خوردگی سیستان است که پریدوتیت (بیشتر هارزبورزیت)، گابرو لایه‌ای و گدازه‌های بالشی، واحدهای این مجموعه را می‌سازند. پریدوتیتها در شمال و شرق روستای فریزنوک و جنوب و جنوب غربی روستای ریز آب رخنمون دارند (شکل ۱). حضور بلورهای درشت برونزیت از ویژگی‌های چشمگیر پریدوتیتها این منطقه است. این سنگ‌ها تحت تاثیر تنفس‌ها و حرک‌های زمین‌ساختی [۱۲] و گاه پیدایش شکستگی‌های کششی ناشی از فرآیند سرپانتینی شدن، شدیداً شکسته و خرد شده‌اند. زون‌های گسلی بستری مناسب برای دگرسانی‌هایی مانند سرپانتینی و لیستونیتی شدن [۱۴، ۱۳] را فراهم کرده است. لیستونیتها در منطقه به صورت تیغه‌هایی با ریخت‌شناسی برخاسته در درون پریدوتیتها از سرپانتینی شده مشاهده می‌شوند. واحد گابرویی در ۵ کیلومتری غرب فریزنوک و واحد گدازه‌ای واپس‌تنه به دنباله‌ی افیولیتی در چندین محل از جمله

غنى از پپروکسن و نوارهای روشن غنى از پلازیوکلاز هستند (شکل ۳-الف). پلازیوکلاز در این سنگ‌ها معمولاً شکل دار تا نیمه شکل دار با ردی پلی سنتتیکی دیده می‌شود. گابروها دارای پلازیوکلازهای با ردی کوتاه شونده هستند که نشانی از دگرشکلی پلاستیک است [۱۷] (شکل ۳-ب). پلازیوکلازها به مقدار کم به کانی‌های رسی دگرسان شده‌اند. کلینوپپروکسن به عنوان تنها کانی فرومیزین این واحد سنگی عموماً بی‌شكل تا نیمه شکل دارند.

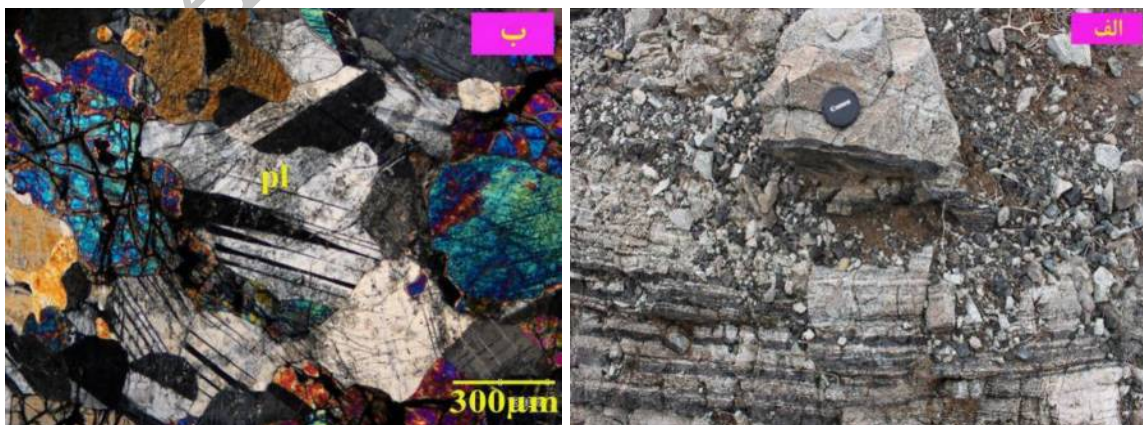
اسپیلیت: پلازیوکلاز و پپروکسن کانی‌های اصلی و کلریت، اپیدوت، کربنات و اکسید آهن، کانی‌های ثانویه این واحد سنگی هستند. بافت غالب در این سنگ‌ها پورفیری، اسکلتی و دم چلچله‌ای [۱۸] است.

ارتوبپروکسن‌ها مشاهده می‌شوند (شکل ۲-الف). برخی از دانه‌های الیوین شدیداً سرپانتینی شده‌اند. ارتوبپروکسن‌ها با ابعاد ۰،۵ تا ۳ میلی‌متر، درشت درین اجزای این سنگ‌ها را می‌سازند. کلینوپپروکسن‌ها با ابعاد ۰،۵ تا ۱ میلی‌متر و همچون ارتوبپروکسن‌ها خاموشی موجی نشان می‌دهند. اسپیلیت به صورت شکل دار تا نیمه شکل دار در اطراف ارتوبپروکسن‌ها و الیوین‌ها وجود دارد. این کانی در نور طبیعی به رنگ فهوهای روشن دیده می‌شود، فاقد خاموشی موجی و آثاری از دگرشکلی پلاستیک است و دارای حاشیه سیاه‌اند که می‌تواند نشان از مگنتیتی شدن آنها باشد. هیچ ادخالی از الیوین و اسپیلیت در پپروکسن‌ها مشاهده نشندند.

واحد گابرویی: این واحد در صحراء نمونه‌های ماکروسکوپی لایه‌بندی تکراری تیره و روشن را نشان می‌دهد. نوارهای تیره



شکل ۲ الف: بافت پورفیروکلاستیکی در هارزبورزیت‌های منطقه نشان دهنده اعمال دگرشکلی در دمای پایین است (XPL). ب: خمیدگی رخ‌های ارتوبپروکسن در هارزبورزیت که نشان دهنده اعمال دگرشکلی پلاستیک است (XPL).



شکل ۳ الف: تناوب نوارهای تیره (غنى از پپروکسن) و روشن (غنى از پلازیوکلاز) در گابروهای منطقه‌ی مورد بررسی. ب: دگر شکلی پلاستیک در پلازیوکلازهای گابرو‌ها به صورت ماکل کوتاه شونده دیده می‌شود (XPL).

شدند. $(Q = Ca + Mg + Fe^{2+}, J = 2Na)$ پیروکسن‌ها در گستره‌ی پیروکسن‌های کلسیم، آهن و منیزیم‌دار قرار می‌گیرند (شکل ۵-الف). بر اساس نمودار مثلثی ولاستونیت-انستاتیت-فروسیلیت [۲۰]، پیروکسن‌ها از نوع اوژیت دیوپسیدی ($Mg^{\#} = 91.58$) و انستاتیت ($Mg^{\#} = 95.8$) هستند (شکل ۵-ب).

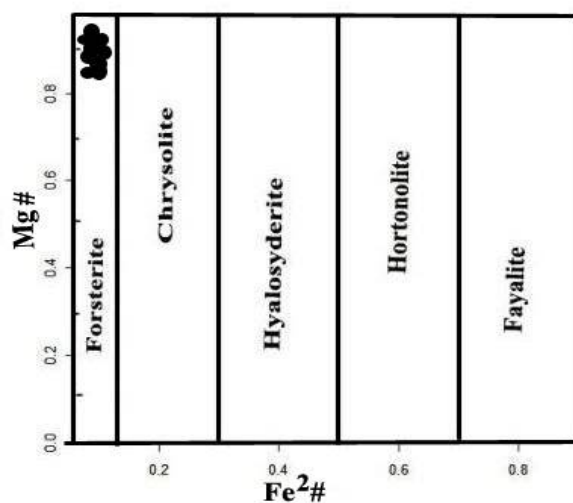
اسپینل: اسپینل یک کانی معمولی در سنگ‌های آذرین اولترامافیکی مانند دونیت، هارزبورژیت، لرزولیت، ورلیت، پیروکسنیت، وبستریت و تروکتولیت است. اسپینل‌ها (با میانگین عدد کروم ۴۱، عدد آهن ۱۶۶ و عدد منیزیم ۶۲ در نمودار $Al - Fe^{3+} + Ti - Cr$ [۲۱]) در گروه اسپینل‌های آلومینیوم-کروم‌دار قرار می‌گیرند (شکل ۶).

شیمی کانی‌ها

برای شناخت ترکیب شیمیایی، نامگذاری، تعیین دما و فشار تبلور تعادلی مجموعه‌های کانیایی در هارزبورژیت، از تجزیه‌ی نقطه‌ای کانی‌های الیوین، پیروکسن‌ها و اسپینل استفاده شده است.

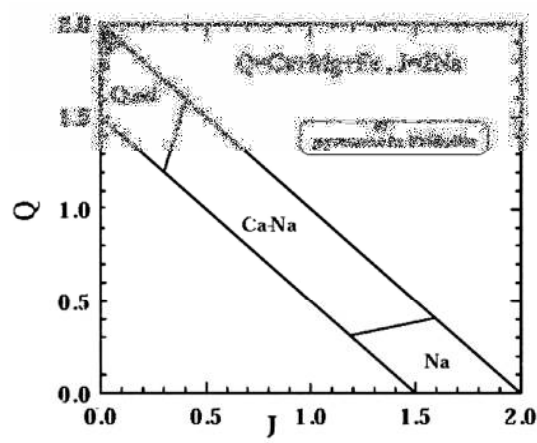
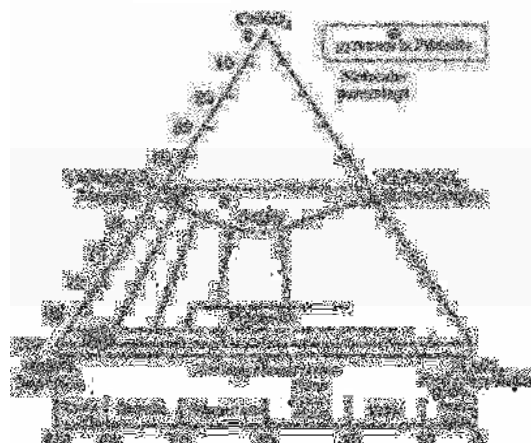
الیوین: ترکیب الیوین‌های موجود در هارزبورژیت‌ها در گستره‌ی $Fo_{90.15} - Fo_{90.75}$ و دارای ترکیب متوسط $Fo_{90.52}$ هستند که در گستره‌ی فورستریت [۱۹] قرار می‌گیرند (شکل ۴).

پیروکسن: برای نام‌گذاری پیروکسن‌ها، از روش [۲۰] استفاده شد. در این روش نخست با استفاده از نمودار Q-J انواع پیروکسن‌های سدیک، سدیک-کلسیک و کلسیک از هم جدا

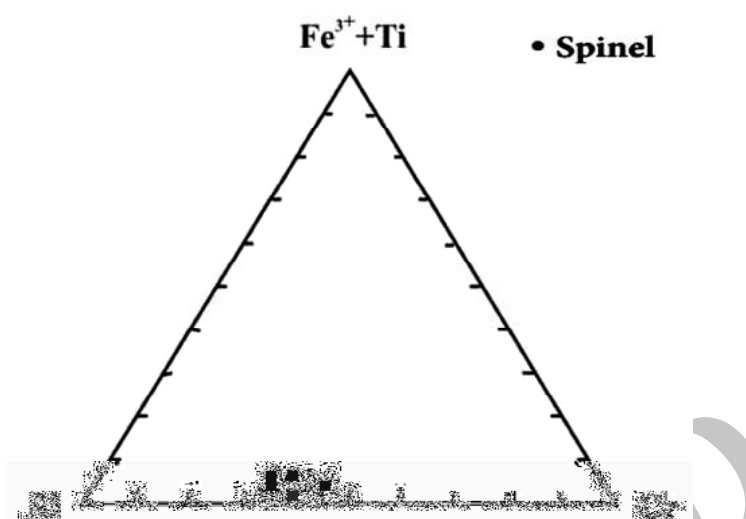


شکل ۴ ترکیب الیوین‌ها در پریدوتیت‌ها [۱۸].

الف



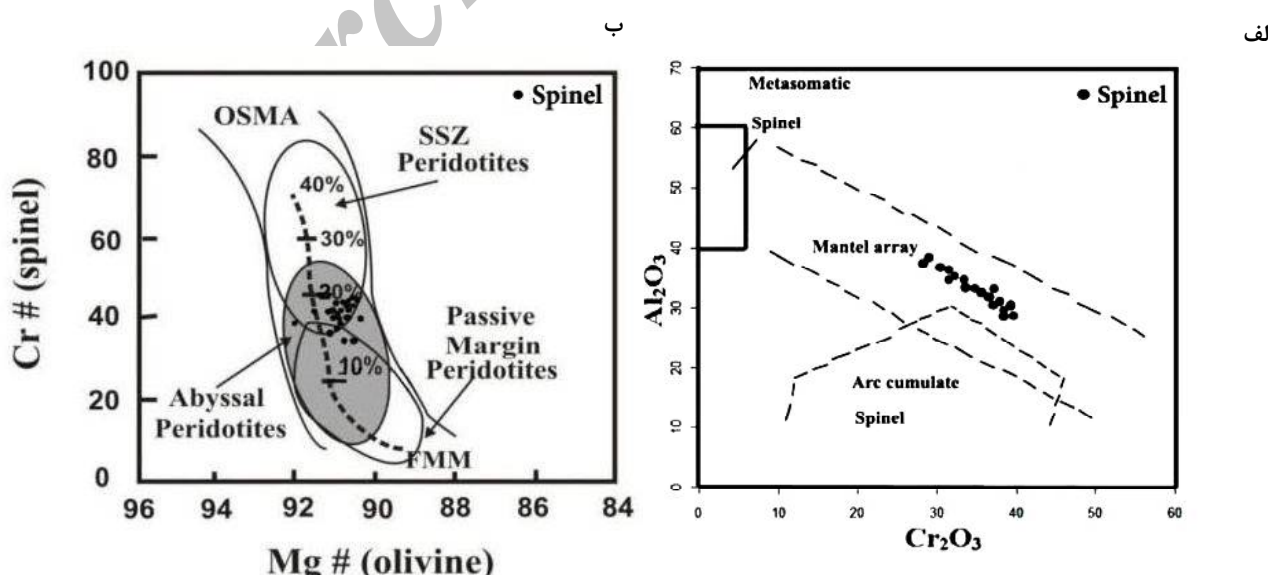
شکل ۵ الف: موقعیت پیروکسن‌های موجود در هارزبورژیت در نمودارهای Q در مقابل J [۱۹] ب: نمودار مثلثی پیروکسن‌ها که نشانده‌نده‌ی اوژیت دیوپسیدی و انستاتیت در نمونه هارزبورژیت است [۱۹].



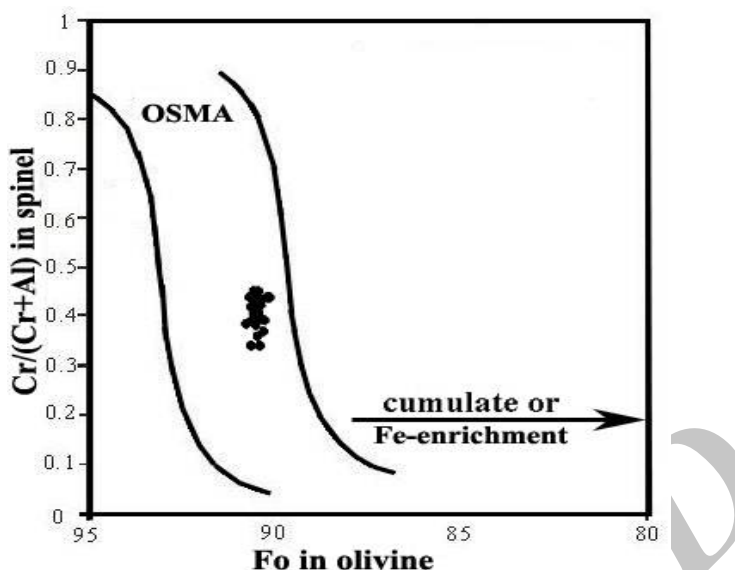
شکل ۶ نمودار مثلثی اسپینل‌ها که نشان دهنده وجود اسپینل آلومینیوم-کروم دار در نمونه هارزبورژیت است [۲۰].

عدد منیزیم ($Mg^{\#}$) در الیوین‌های همزیست در پریدوتیت [۲۵]، (شکل ۷-ب) و نیز مقدار فورستریت در الیوین، نسبت به عدد کروم ($Cr^{\#}$) اسپینل همزیست با آن [۲۵] (شکل ۸)، گوشته‌ای بودن پریدوتیت‌های منطقه‌ی مورد بررسی را تایید و درجه‌ی ذوب بخشی حدود ۱۵ تا ۲۰ درصد را نشان می‌دهد با استفاده از مقدار Cr و Na واحد ساختاری کلینوپیرکسن‌های موجود در پریدوتیت‌های گوشته [۲۶] مشاهده می‌شود که پریدوتیت‌های منطقه در گستره‌ی محیط اقیانوسی قرار گرفته‌اند (شکل ۹).

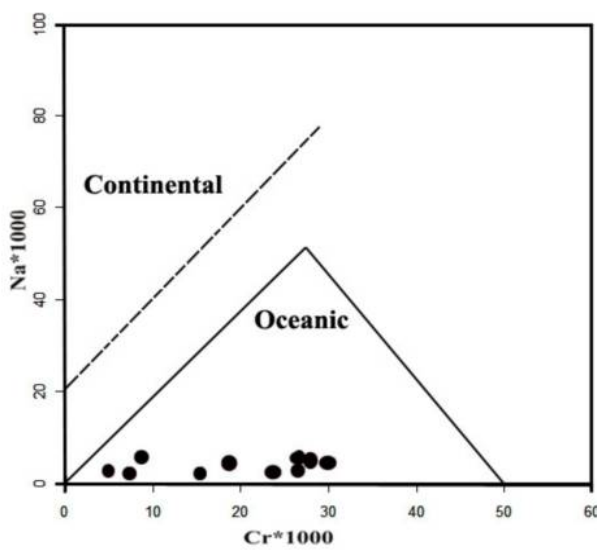
تعیین خاستگاه پریدوتیت
ترکیب شیمیایی و عدد کروم ($Cr^{\#}$) در اسپینل‌ها به عنوان یک نشانگر در تعیین خاستگاه پریدوتیت‌ها [۹] استفاده شده است. بررسی مقدار Al_2O_3 در اسپینل‌ها نسبت به آنها (Cr_2O_3 -الف) نشان می‌دهد که این پریدوتیت‌ها در گستره‌ی پریدوتیت‌های گوشته‌ای [۲۴-۲۲] قرار می‌گیرند. عدد کروم ($Cr^{\#}$) اسپینل در پریدوتیت‌ها معیار مناسبی است برای تعیین درجه تهی‌شدگی و درجه ذوب بخشی یک خاستگاه گوشته‌ای است [۲۵، ۲۲]. نمودار عدد کروم ($Cr^{\#}$) در اسپینل نسبت به



شکل ۷ الف: نمودار Al_2O_3 در اسپینل نسبت به Cr_2O_3 که خاستگاه گوشته‌ی اسپینل‌ها را نشان می‌دهد. [۲۳، ۲۲، ۲۱]. ب- $Cr^{\#}$ اسپینل نسبت به $Mg^{\#}$ الیوین‌های همزیست در پریدوتیت که نشان دهنده ترکیب OSMA و abyssal گوشته است. [۲۴].



شکل ۸ مقدار فورستریت الیون نسبت به $\text{Cr}^{\#}$ اسپینل همزیست با آن که گوشه‌ای بودن پریدوتیت‌های منطقه مورد بررسی را نشان می‌دهد.
[۲۴]



شکل ۹ مقدار اتمی Na کلینوپیروکسن نسبت به Cr آن در پریدوتیت‌های گوشه‌ای منطقه [۲۶]، پریدوتیت‌های افیولیت منطقه در گستره‌ی اقیانوسی قرار می‌گیرند.

$$Tc = (-10202/(\ln K)) - 7.65 X_{\text{Fe}}^{\text{Opx}} + 3.88 (X_{\text{Fe}}^{\text{Opx}})^2 - 4.6) - 273.15$$

$$K = \alpha \text{Mg}_2\text{Si}_2\text{O}_6^{\text{CPX}} / \alpha \text{Mg}_2\text{Si}_2\text{O}_6^{\text{OPX}} = (X_{\text{Mg}}^{\text{M2}} \cdot X_{\text{Mg}}^{\text{M1}})^{\text{CPX}} / (X_{\text{Mg}}^{\text{M2}} \cdot X_{\text{Mg}}^{\text{M1}})^{\text{OPX}}$$

که فعالیت $\text{Mg}_2\text{Si}_2\text{O}_6$ در پیروکسن با استفاده از معادله‌ی:

$$\alpha \text{Mg}_2\text{Si}_2\text{O}_6 = X_{\text{Mg}}^{\text{M2}} \cdot X_{\text{Mg}}^{\text{M1}}$$

تأثیر Fe^{2+} در پیروکسن‌های معمولی با در نظر گرفتن عبارت

$X_{\text{Fe}}^{\text{OPX}}$ و عبارت:

$$X_{\text{Fe}}^{\text{OPX}} = (\text{Fe}^{2+} / (\text{Fe}^{2+} + \text{Mg}))^{\text{OPX}}$$

دما- فشارسنجی پریدوتیت‌های گوشه

با استفاده از نتایج حاصل از آنالیز نقطه‌ای کانی‌ها، تعیین فشار و دما در زمان تبلور هارزبورژیت با دما-سنجی زوج کانی کلینوپیروکسن – ارتوپیروکسن [۲۷]، و الیونین – اسپینل، و فشارسنج کلینوپیروکسن، محاسبات دما- فشارسنجی با استفاده از نرم افزار PTMAFIC [۱۱] انجام شد. فرمول ارائه شده توسط [۲۷] عبارت است از:

دهماهای بدست آمده در روش [۳۱]، دمای ۷۵۰ درجه‌ی سانتیگراد در فشار ۲۵ کیلوبار، ۷۴۲ درجه‌ی سانتیگراد در فشار ۱۵ کیلوبار و دمای ۷۱۰ درجه‌ی سانتیگراد در فشار ۱۰ کیلوبار است. نتایج دماسنجد بحسب آمده، اختلاف دمایی نسبتاً زیادی را بین دمای تبلور بدست آمده از دماسنجد و پیروکسن (میانگین دمای 100 ± 10 درجه سانتیگراد) و از دماسنجد الیوین-اسپینل (میانگین دمای تعادل ۷۵۰ درجه‌ی سانتیگراد) را در فشار ۲۵ کیلوبار برای پریدوتیت نشان داد. این اختلاف دما مبین این است که کانی‌های الیوین و اسپینل موجود در این پریدوتیتها در دمای پایین‌تری نسبت به پیروکسن‌های همزیست خود به تعادل رسیده‌اند. عدم وجود آثار نوار شکن و خاموشی موجی در الیوین و اسپینل، فراوانی چشمگیر الیوین در اطراف ارتوبیروکسن و عدم وجود ادخال‌های الیوین و اسپینل در پیروکسن‌ها، شکل‌گیری این کانی‌ها را طی روند ترتیب تبلور عادی رد و نوظهور بودن آنها را تایید می‌کند. چنین شرایطی می‌تواند در مناطق بالای زون فروزانشی (Supra subduction zone) که پریدوتیتها تحت تاثیر مواد فرار آزاد شده از ورق اقیانوسی فرورونده قرار داشته‌اند، نشان دهد. بر اساس شکل ۹ پریدوتیت‌های منطقه در گستره‌ی محیط اقیانوسی قرار گرفته‌اند و در این شرایط اولین کانی ذوب شده، کلینوبیروکسن است که باعث ایجاد یک گدازه‌ی فقیر از سیلیس و تبدیل لرزولیت به هارزبورژیت می‌شود. پس از ذوب کلینوبیروکسن و برهم‌کننش گدازه‌ی تولید شده با ارتوبیروکسن‌ها، شرایط ذوب ناتتجانس ارتوبیروکسن و ایجاد الیوین‌های نوظهور فراهم می‌شود [۳۲].

برداشت

بافت‌های غالب در هارزبورژیت‌های منطقه شمال غرب بیرون جند دانه‌ای، پورفیروکلاستیک و مشبك است. حضور بافت پورفیروکلاستیکی حاکی از تحمل دگرشکلی در دمای پایین و آثار دگرشکلی پلاستیک از جمله نوارشکن (Kink band) و خاموشی موجی در پیروکسن‌ها بیانگر رخداد دگرشکلی در دمای در این سنگ‌هاست. الیوین‌های نسبتاً تازه به صورت ریزدانه و اسپینل‌ها به صورت کرمی شکل در اطراف ارتوبیروکسن‌ها و الیوین‌ها مشاهده شده و به عنوان کانی‌های نوظهور معرفی می‌شوند. الیوین‌ها می‌توانند حاصل از ذوب

بدست می‌آید. این معادله میانگین دمای تعادل کانی‌های ارتوبیروکسن- کلینوبیروکسن همزیست [۲۷] را 1016 ± 100 درجه‌ی سانتیگراد نشان می‌دهد. از محتوای Na، Cr و K موجود در پیروکسن‌ها برای تعیین فشار حاکم بر پریدوتیت‌های گوشه‌ی منطقه از معادله [۲۸] استفاده شد:

$$\begin{aligned} P(\text{kbar}) &= -T(K)/126.9 * \ln[a^{\text{CPX}}_{\text{CaCrTs}}] + 15.483 * \ln \\ &(Cr^{\text{CPX}}/T(K) + T(K)/71.38 + 107.8) \\ &(Na + K) a^{\text{CPX}}_{\text{CaCrTs}} = Cr - 0.81 Cr^{\#} \\ Cr^{\#} &= (Cr/Cr + Al) \end{aligned}$$

به دلیل این که در بکارگیری این روش تنها دانستن سه پارامتر Cr، Al و Na در مورد ترکیب کانی کلینوبیروکسن کافی است، می‌توان آنرا روشی ساده و قابل اطمینان در تعیین فشار به حساب آورد [۲۸].

فشار بدست آمده با این روش برای هارزبورژیت‌ها $25 \pm 2/4$ کیلوبار است.

دماسنجد براساس الیوین- اسپینل

دماسنجد الیوین- اسپینل برای اولین بار توسط [۲۹] برای سنگ‌های لرزولیتی به کارگرفته شد. اساس این زمین دماسنجد بر جایه‌جایی Fe و Mg بین الیوین و اسپینل است. جایه‌جایی این کاتیون‌ها در کانی‌های الیوین و اسپینل در سنگ‌های پریدوتیتی حتی در زمان سرد شدن کامل این سنگ‌ها و دماهای بسیار پایین نیز ادامه می‌یابد و مانند دیگر زمین دماسنجد‌های رایج، پیروکسن‌های همزیست در دماهای بالا قطع و ثابت نمی‌شوند. چندین دماسنجد در این بخش قابل ذکر است [۳۱، ۳۰]. در روش [۳۰] که بر اساس تبادل Fe^{2+} ، Cr ، Mg و Fe^{3+} استوار است فاکتور فشار موثر نیست و در آن دما از رابطه‌ی زیر بدست آمده است:

$$\begin{aligned} T_c &= ((4250 \times Y^{\text{Cr}}_{\text{Spl}} + 1343)/(LnK_{D2} + 1.825 \times Y^{\text{Cr}}_{\text{Spl}} \times 0.571)) - 273 \\ K_{D2} &= LnK_{D1} - 4 \times Y^{\text{Fe}^{3+}}_{\text{Spl}} \\ K_{D1} &= (X^{\text{Mg}}_{\text{Ol}} \times X^{\text{Fe}^{2+}}_{\text{Spl}})/(X^{\text{Mg}}_{\text{Spl}} \times X^{\text{Fe}^{2+}}_{\text{Ol}}) \end{aligned}$$

دمای بدست آمده با دماسنجد [۳۰]، ۷۷۹ درجه‌ی سانتیگراد است. دما با روش [۳۱] که در آن فشار نیز موثر است از طریق رابطه زیر بدست می‌آید.

$$\begin{aligned} T_c &= A + [16150 \cdot X^{\text{Cr}}_{\text{Spl}} + (25150 \cdot (X^{\text{Fe}^{3+}}_{\text{Spl}} + X^{\text{Ti}}_{\text{Spl}}))]/R \cdot lnK_{D1} + 4.705 - 273.15 \\ A &= 6350 + 280 \cdot P_{\text{Gpa}} + [(7000 + 108 \cdot P_{\text{Gpa}}) \cdot 1 - 2 \cdot X^{\text{Fe}^{3+}}_{\text{Ol}}] - 1960 \cdot (X^{\text{Mg}}_{\text{Spl}} - X^{\text{Fe}^{3+}}_{\text{Spl}})] \end{aligned}$$

- [7] Karipi S., Tsikouras B., Hatzipanagiotou K., Grammatikopoulos T.A., "Petrogenetic significance of spinel-group minerals from the ultramafic rocks of the Iti and Kallidromon ophiolites (Central Greece). *Lithos*", 99 (2007) 136-149.
- [8] Arif M., M. Qasim Jan, "Petrotectonic significance of the chemistry of chromite in the ultramafic mafic complexes of Pakistan", *Journal of Asian Earth Sciences.*, 27 (2006) 628-646.
- [9] Dick H.J.B., Bullen T., "Chromian spinel as a petrogenetic indicator in abyssal and alpine-type peridotites and spatially associated lavas", *Contributions to Mineralogy and Petrology* 86 (1984) 54-76.
- [10] Droop G. T. R., "A general equation for estimating Fe^{+3} concentration in ferromagnesian silicates and oxides from microprobe analyses", using stoichiometric criteria. *Mineralogical Magazine* 51(1987) 431-435.
- [11] Soto J.I., sand Soto V.M., "PTMAFIC: software package for thermometry, barometry and activity calculations in mafic rocks using an IBM compatible computer", *Computers and Geosciences* 21 (1995) 619–652.
- [12] Walker R.T., Gans P., Allen M., Jackson J., Khatib M.M., Marsh N., Saunders A., Zarrinkoub M.H., "Late Cenozoic volcanism and rates of active faulting in eastern Iran", *Geophysical Journal International*, 177 (2009) 783-805.
- [۱۳] [زیرین کوب م.ح، امینی ص، آفتتابی ع، کریم پور م.ح، کانی شناسی، زمین شیمی، موقعیت ساختمانی و ارایه مدل ژنتیکی برای لیستونیت های خاور ایران، بلور شناسی و کانی شناسی ایران. سال سیزدهم، شماره ۲، پاییز و زمستان، (۱۳۸۴) ص ۳۶۳-۳۷۸]
- [14] Aftabi A., Zarrinkoub M.H., "Petrogeochemistry of listvenite association in metaophiolites of Sahlabad region, eastern Iran: Implications for possible epigenetic Cu-Au ore exploration in metaophiolites", *Lithos*, V. 156–159 (2013) 186-203.
- [15] Barker A.J., "Introduction to metamorphic textures and microstructures. Chapman and Hall", (1990) 265P.
- [16] Shelly D., "Microscopic study of Igneous and Metamorphic rocks", Chapman & Hall, London (1993) 184p.

نامتجانس اور توپیروکسن‌ها تحت تاثیر واکنش گدازه- گوشه باشند. براساس نتایج بدست آمده از ترکیب شیمیائی اسپینل‌ها و الیوین‌ها، پریدوتیت‌های منطقه‌ی مورد بررسی، از نوع گوشه‌ای بوده و درجه ذوب بخشی حدود ۲۰ تا ۱۵ درصد را نشان می‌دهند. ترموبارومتری بر اساس کانی‌های کلینوپیروکسن و اورتوپیروکسن، میانگین دمای تبلور هارزبوزریت‌ها را 100 ± 16 در فشار ۲۵ کیلوبار بدست داده است.

قدرتمند

بدین وسیله از همکاری دکتر مایکل بروکر در گروه علوم زمین دانشگاه مانسر آلمان جهت تجهیز نقطه‌ای کانی‌ها سپاسگزاری می‌شود.

مراجع

- [۱] شهیدی ع. فیروزی ب، شفیعی ع، " نقشه ۱:۱۰۰۰۰ زمین شناسی روم، سازمان زمین شناسی و اکتشاف معدنی کشور (۱۳۷۸).
- [2] Tirrul R., Bell I.R., Griffis R.J., Camp V.E., "The Sistan suture zone of eastern Iran Geological Society of America Bulletin", V.94 (1983) 134-150.
- [3] Babazadeh A.S., Robaszynski F., Courme M.D., "New biostratigraphic data from Cretaceous planktic foraminifera in Sahlabad province", eastern Iran, *Lithos*, V.40 (2007) 445–454.
- [4] Zarrinkoub M.H., Kwan-Nang Pang K.N., Chung S.L., Khatib M.M., Mohammadi S.S., Chiu H.Y., Lee H.Y., "Zircon U-Pb age and geochemical constraints on the origin of the Birjand ophiolite", Sistan suture zone, eastern Iran, *Lithos* 154 (2012) 392–405.
- [5] Zarrikoub M.H., Chung S.L., Chiu H.Y., Mohammadi S.S., Khatib M.M., Lin J.H., "Zircon U-Pb age and geochemical constraints from the northern Sistan suture zone on the neotethyan magmatic and tectonic evolution in eastern Iran", An abstract paper in Turkey Symposium: Tectonic Crossroads:Evolving Orogens of Eurasia – Africa – Arabia (2011).
- [6] Brocker M., Fotoohi Rad G. R., Thunissen S., "New time constraints for HP metamorphism and exhumation of mélange rocks from the Sistan suture zone", eastern Iran. An abstract paper in Turkey Symposium: Tectonic Crossroads:Evolving Orogens of Eurasia – Africa – Arabia (2011).

- [26] Kornprobst J., Ohnenstetter D., Ohnenstetter M., "Na and Cr contents in Cpx from peridotites: a possible discriminant between sub-continental and sub-oceanic mantle", *Earth and Planetary Science Letters* 53 (1981) 241-254.
- [27] Wood B.J., Banno S., "Garnet-orthopyroxene and orthopyroxene-clinopyroxene relationships in simple and complex systems", *Contributions to Mineralogy and Petrology*, 42 (1973) 109-124.
- [28] Nimis P., Taylor W. R., "Single clinopyroxene thermobarometry for garnet peridotites Part I. Calibration and testing of a Cr-in-Cpx barometer and an enstatite-in-Cpx thermometer", *Contributions to Mineralogy and Petrology* 139 (2000) 541-554.
- [29] Evans B.W., Frost B.R., "Chrome-spinel in progressive metamorphism: A preliminary analysis", *Geochimica et Cosmochimica Acta*, v. 39 (1975) 959-972.
- [30] Fabriès J., "Spinel-olivine geothermometry in peridotites from ultramafic complexes", *Contributions to Mineralogy and Petrology*, V. 69 (1979) 329-336.
- [31] Ballhaus C., Berry R.F., Green D.H., "High pressure experimental calibration of the olivine-orthopyroxene-spinel oxygen geobarometer: implication for the oxidation state of the upper mantle", *Contributions to Mineralogy and Petrology*, V. 107 (1991) 27-40.
- [32] Kubo K., "Dunite formation processes in highly depleted peridotite: Case study of the Iwandake peridotite", *Hokkaido, Japan. Journal of Petrology*, V.43 (2002) 423-448.
- [17] Vernon R.H., "A practical guide to rock microstructure", Cambridge University Press, 594p (2004).
- [۱۸] امینی ص، زرین کوب م.ح، درویشزاده ع، "مطالعه گدازهای بازالتی همراه توالی افیولیتی بیرجند"، *محله علوم دانشگاه تهران*. جلد ۲۶، شماره ۱، (۱۳۷۹) ص ۷۱ - ۹۱.
- [19] Deer W.A., Howie R.A., Zussman J., "The Rock Forming Minerals", Second Edition. Longman Asia Ltd, Hong Kong, (1992) 696P.
- [20] Morimoto N., "Nomenclature of pyroxenes", *Mineralogical Magazine*, 52 (1988) 535-550.
- [21] Irvine T.N., "Chromian spinel as a petrogenetic indicator, part n. Petrologic applications", *Canadian Journal of Earth Sciences*, 4 (1967) 71-103.
- [22] Conrad W. K., Kay R. W., "Ultramafic and mafic inclusions from Adak Island: Crystallization history and implications for the nature of primary magmas and crustal evolution in the Aleutian arc", *Journal of Petrology* 25 (1984) 88-125.
- [23] Haggerty S. E., "Upper mantle opaque mineral stratigraphy and the genesis of metasomatites and alkali-rich melts", *Journal of Geological Society of Australia* 14 (1988) 687-699.
- [24] Kepezhinskas P. K., Defant M. J., Drummond M. S., "Na metasomatism in the island-arc mantle by slab melt-peridotite interaction: evidence from mantle xenoliths in the North Kamchatka arc", *Journal of Petrology* 36 (1995) 1505-1527.
- [25] Arai S., "Characterization of spinel peridotites by olivine-spinel compositional relationships", *Review and Interpretation. Chemical Geology* 113 (1994) 191-204.